

FLAVONOIDES DE *Lonchocarpus araripensis* (Leguminosae) - ISOLAMENTO, ATRIBUIÇÃO INEQUÍVOCA DOS SINAIS DE RMN ^1H E ^{13}C E ANÁLISE CONFORMACIONAL

Almi F. Lima^a, Daniele A. Ferreira^a, Francisco José Q. Monte^{*a} e Raimundo Braz-Filho^b

^aDepartamento de Química Orgânica e Inorgânica, Centro de Ciências, Universidade Federal do Ceará; 60455-760 Fortaleza – CE, Brasil

^bLaboratório de Ciências Químicas, Centro de Ciências Tecnológicas, Universidade Estadual do Norte Fluminense, 28013-602 Campo dos Goytacazes – RJ, Brasil

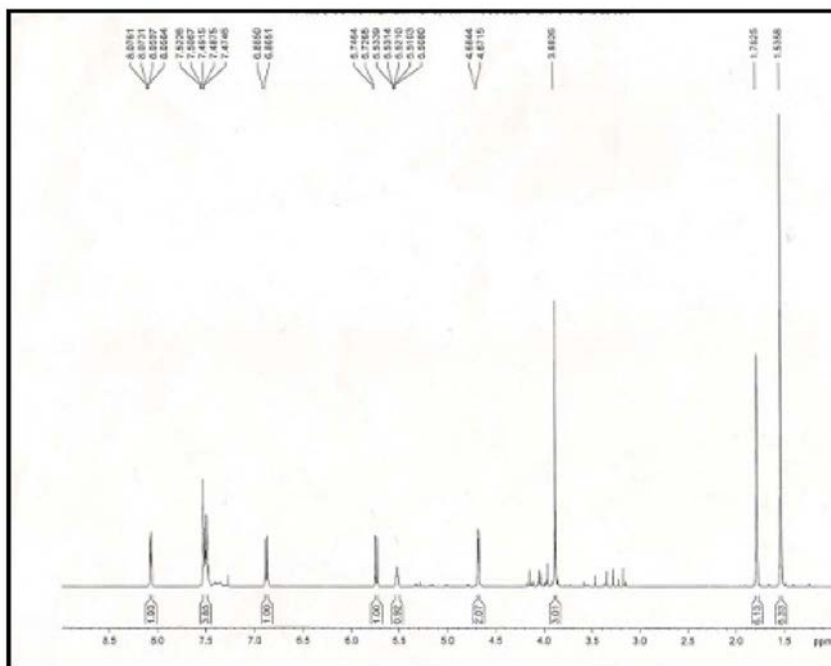


Figura 1S. Espectro de RMN ^1H do composto 1

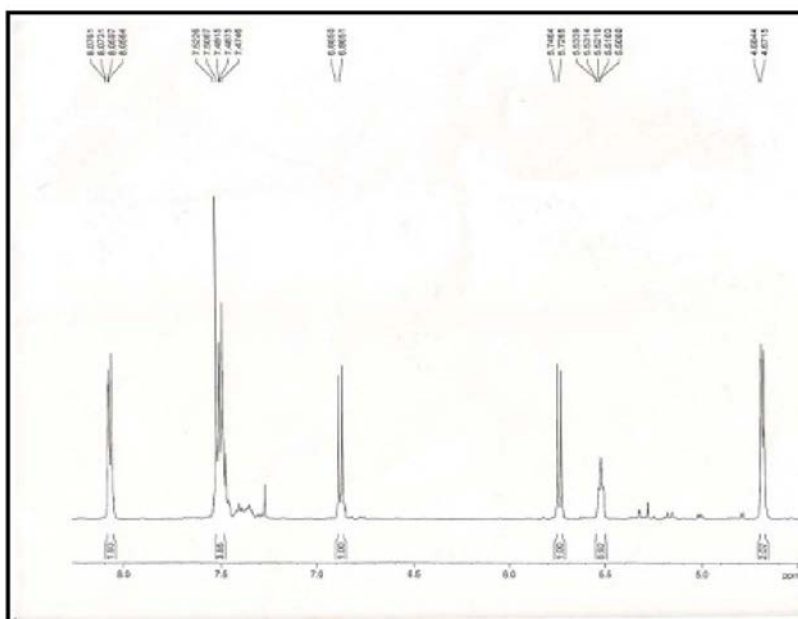


Figura 2S. Espectro de RMN ^1H do composto 1 (expansão)

*e-mail: fmonte@dqi.ufc.br

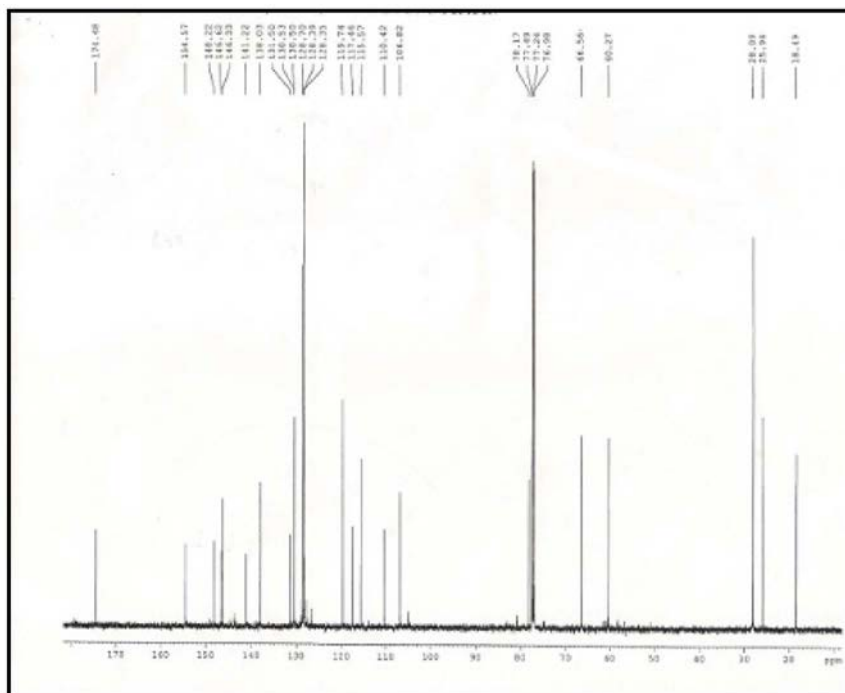


Figura 3S. Espectro de RMN ^{13}C do composto **1**

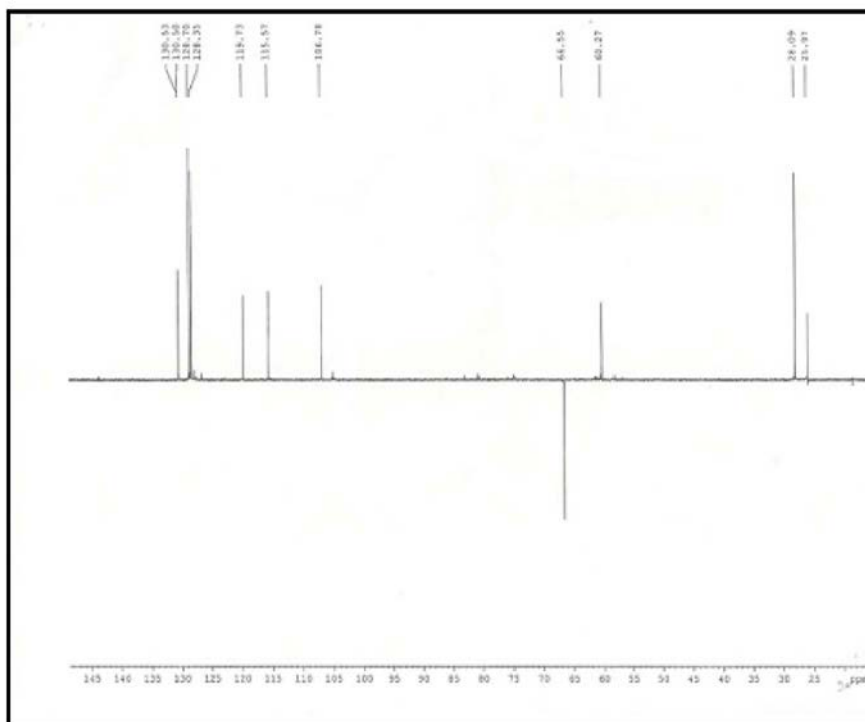


Figura 4S. Espectro de RMN ^{13}C do composto **1** - DEPT-135°

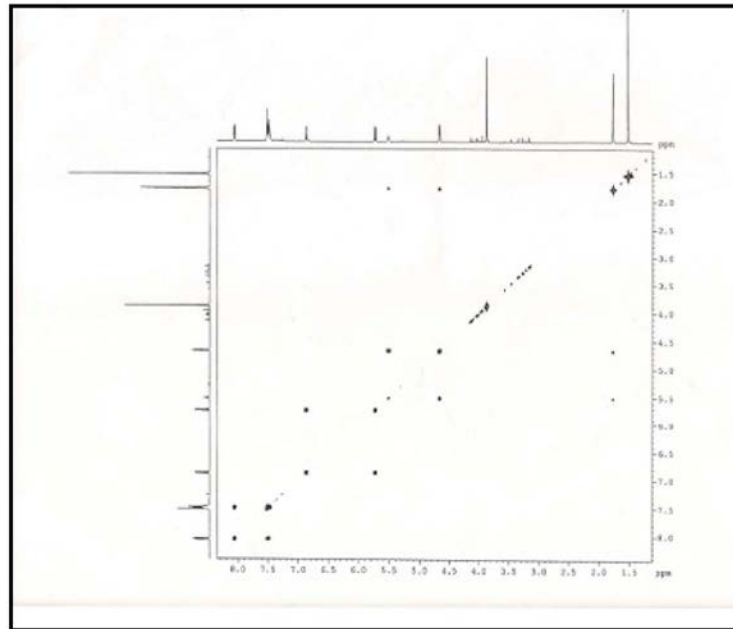


Figura 5S. Espectro de RMN do composto 1 - COSY

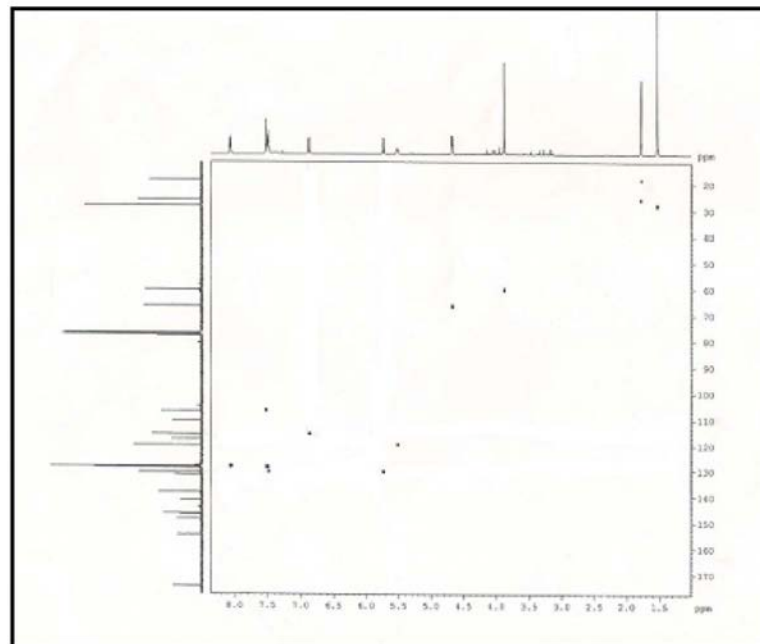


Figura 6S. Espectro de RMN do composto 1- HSQC

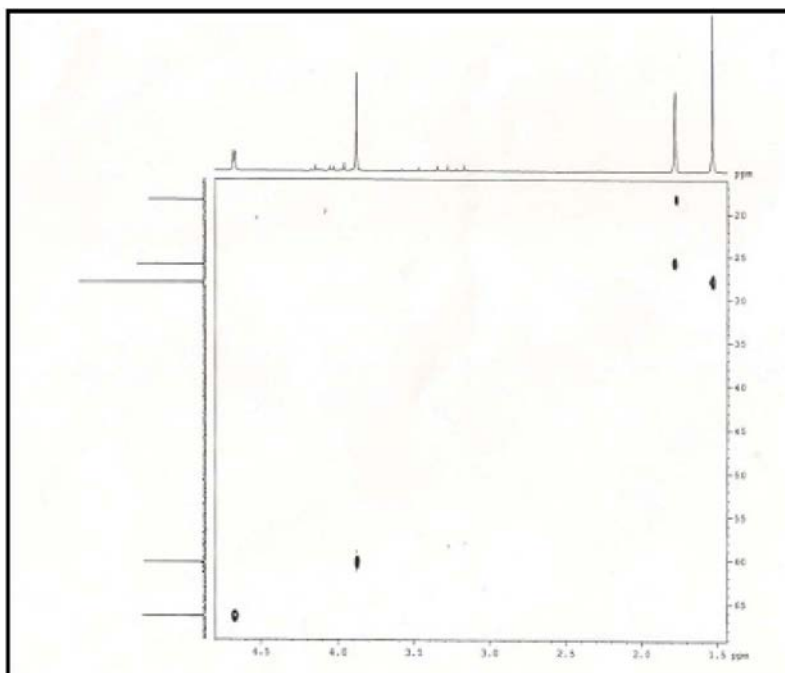


Figura 7S. Espectro de RMN do composto 1 – HSQC (expansão)

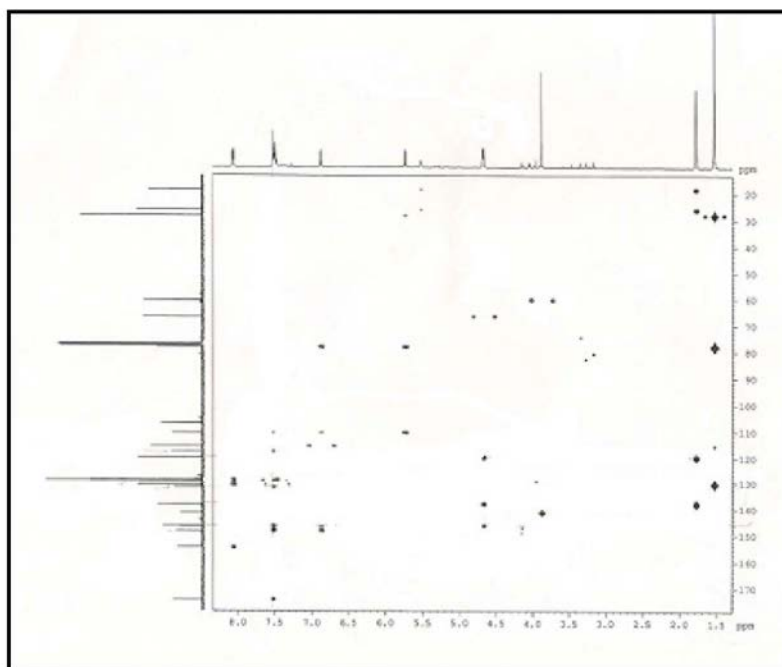


Figura 8S. Espectro de RMN do composto 1 – HMBC

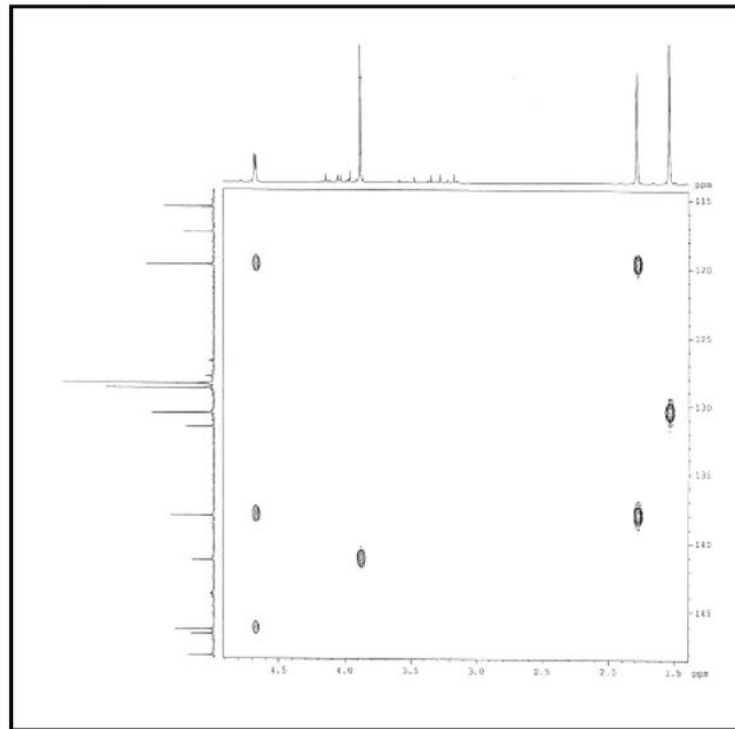


Figura 9S. Espectro de RMN do composto 1 – HMBC (expansão)

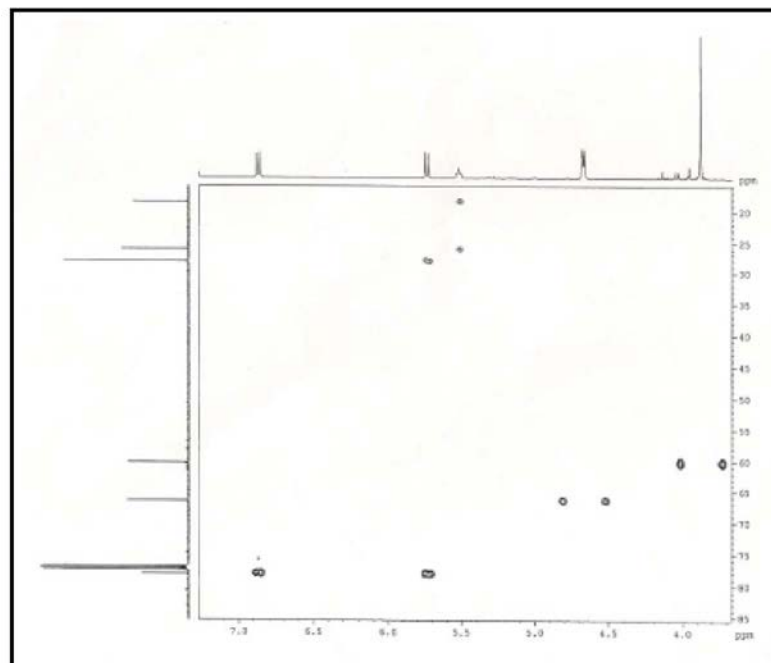


Figura 10S. Espectro de RMN do composto 1 – HMBC (expansão)

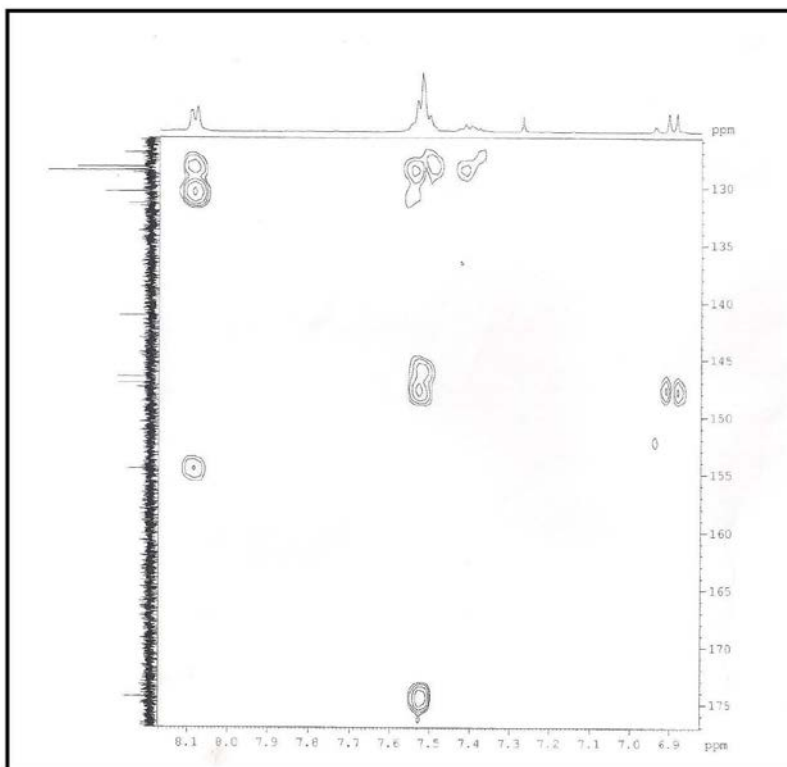


Figura 11S. Espectro de RMN do composto 1 – HMBC (expansão)

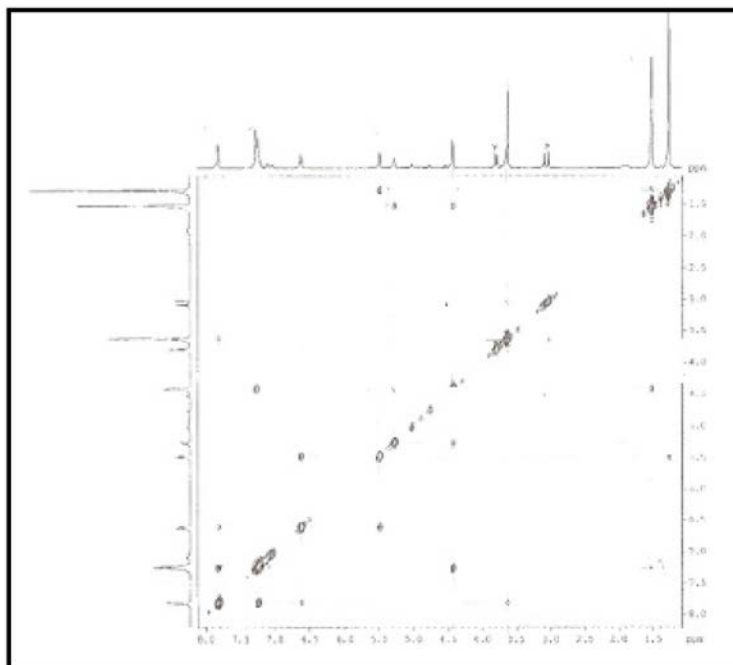


Figura 12S. Espectro de RMN do composto 1 - NOESY

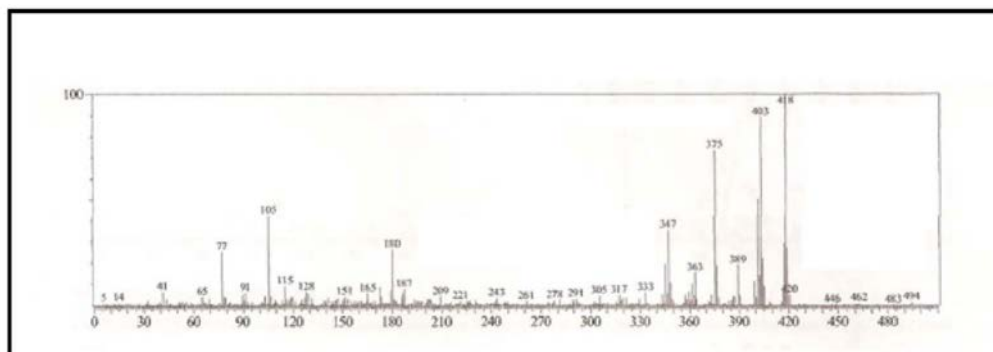


Figura 13S. Espectro de massas do composto 1

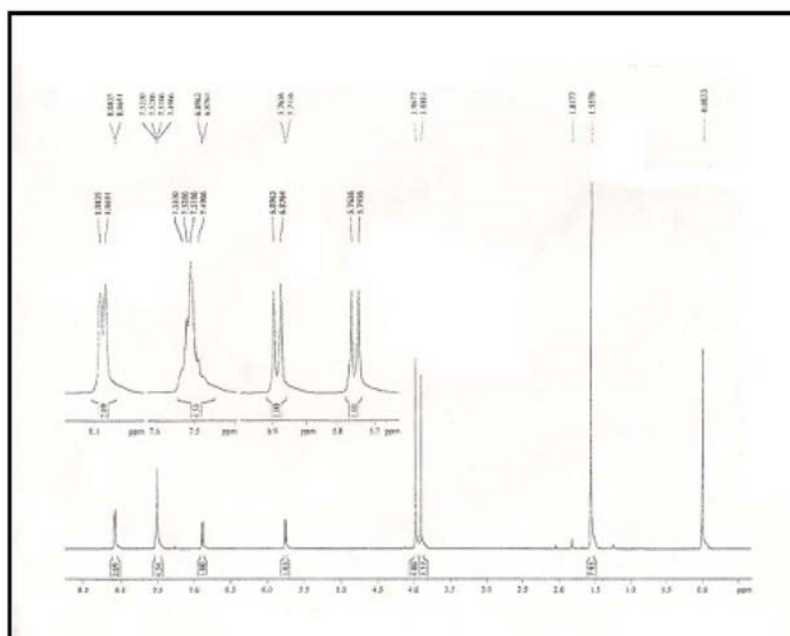


Figura 14S. Espectro de RMN ¹H do composto 2

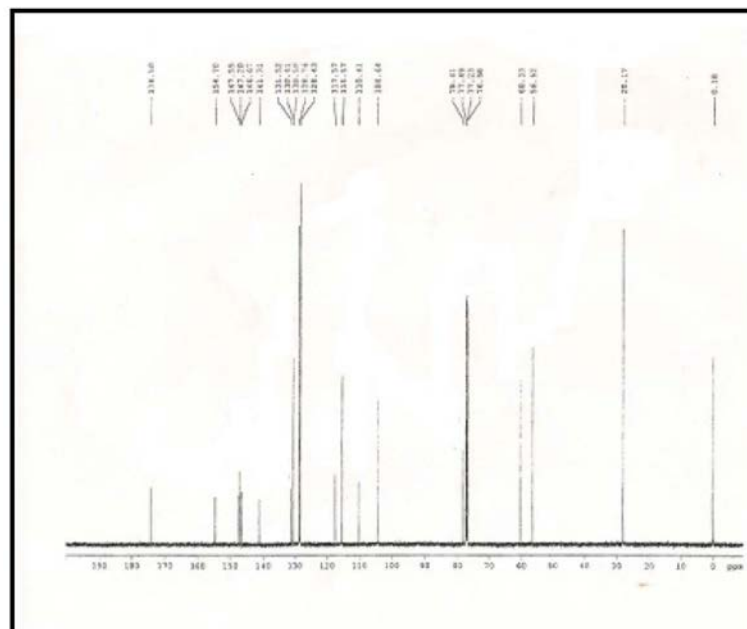


Figura 15S. Espectro de RMN ¹³C do composto 2

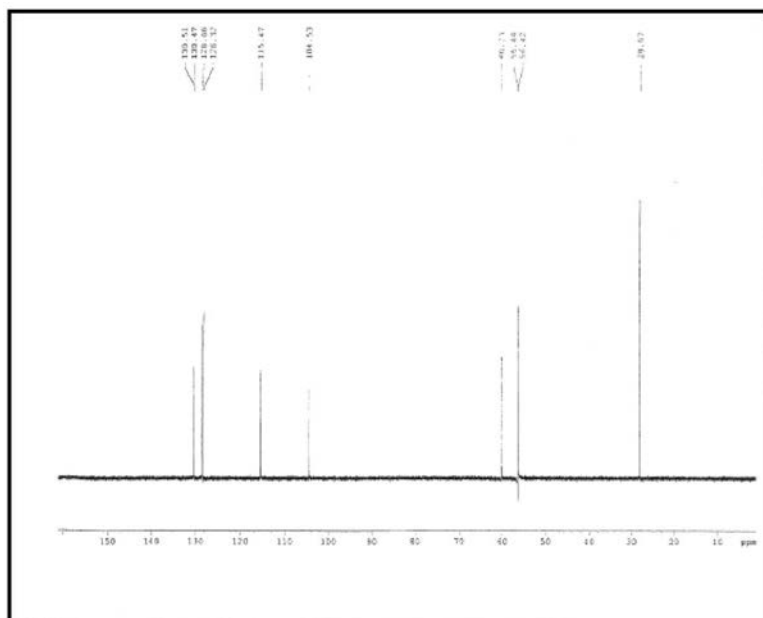


Figura 16S. Espectro de RMN ^{13}C do composto 2 – DEPT – 135°

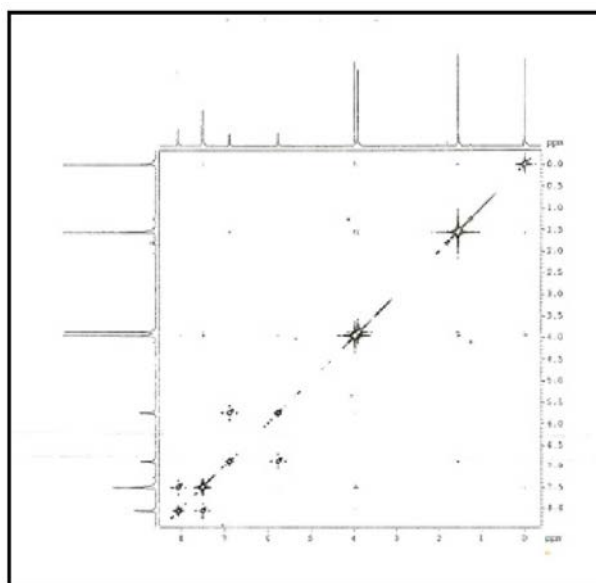


Figura 17S. Espectro de RMN do composto 2 – COSY

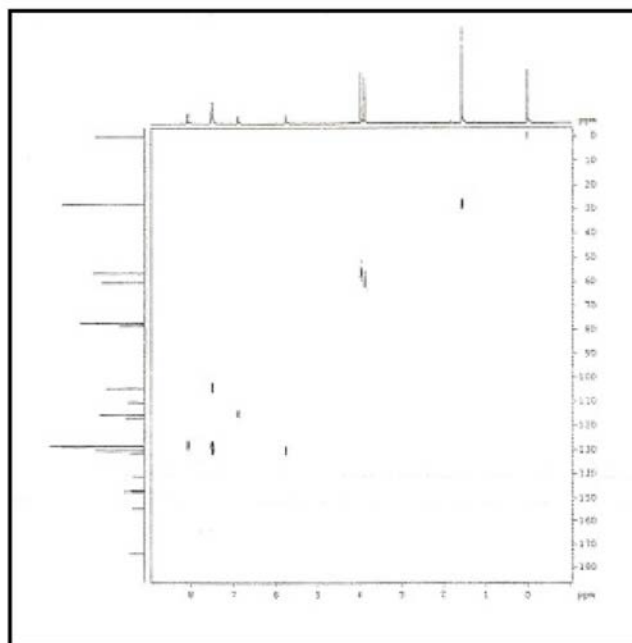


Figura 18S. Espectro de RMN do composto 2 – HSQC

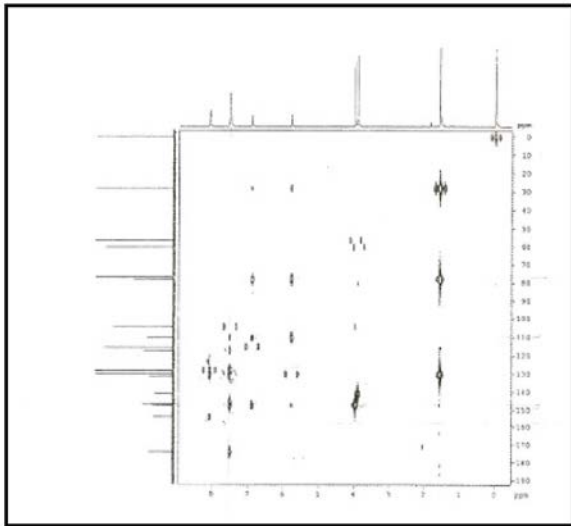


Figura 19S. Espectro de RMN do composto 2 – HMBC

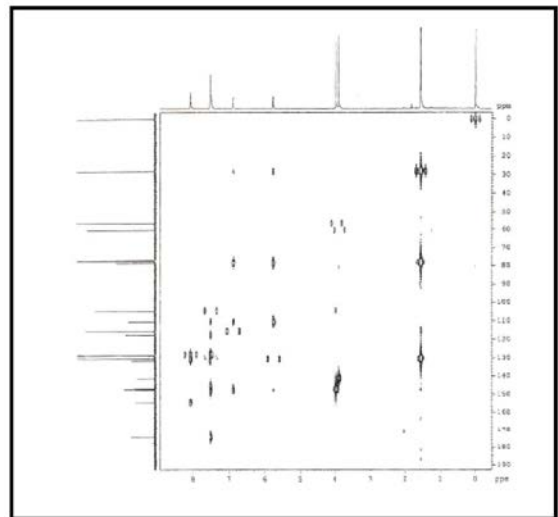


Figura 20S. Espectro de RMN do composto 2 - HMBC

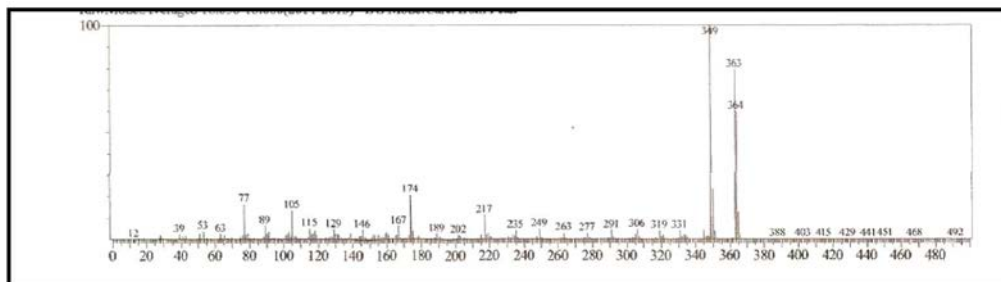


Figura 21S. Espectro de massas do composto 2

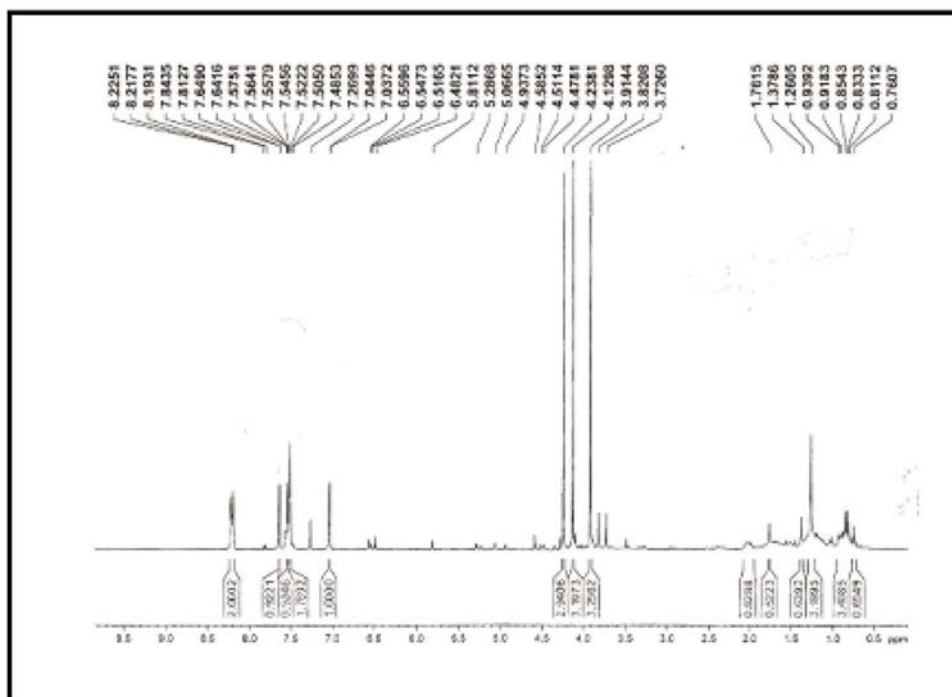


Figura 22S. Espectro RMN de ^1H do composto 3

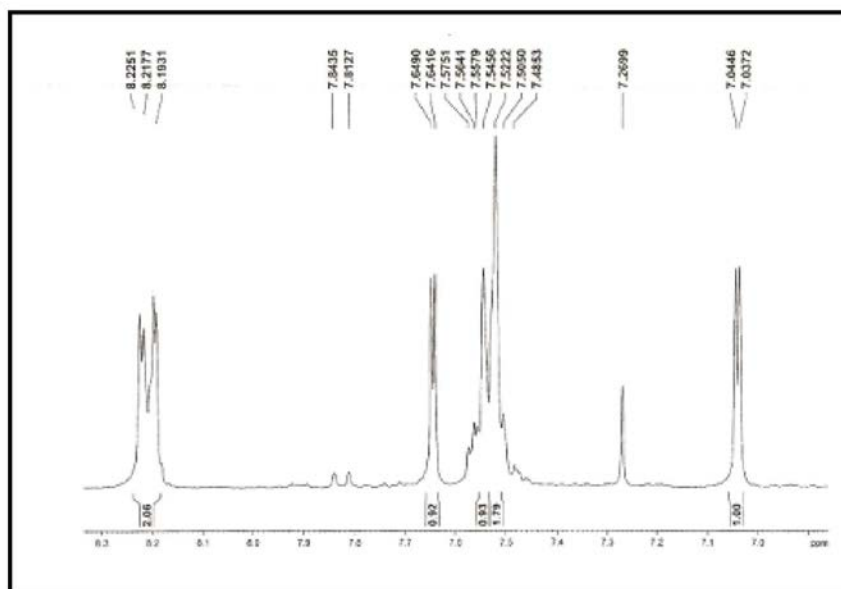


Figura 23S. Espectro RMN de ^1H do composto 3 (expansão)

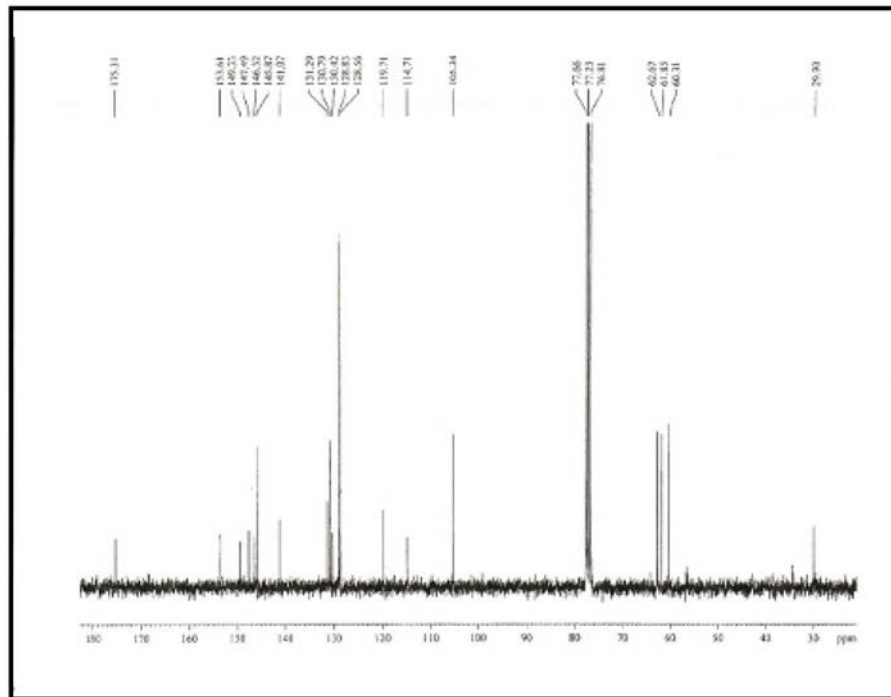


Figura 24S. Espectro de RMN ^{13}C do composto 3

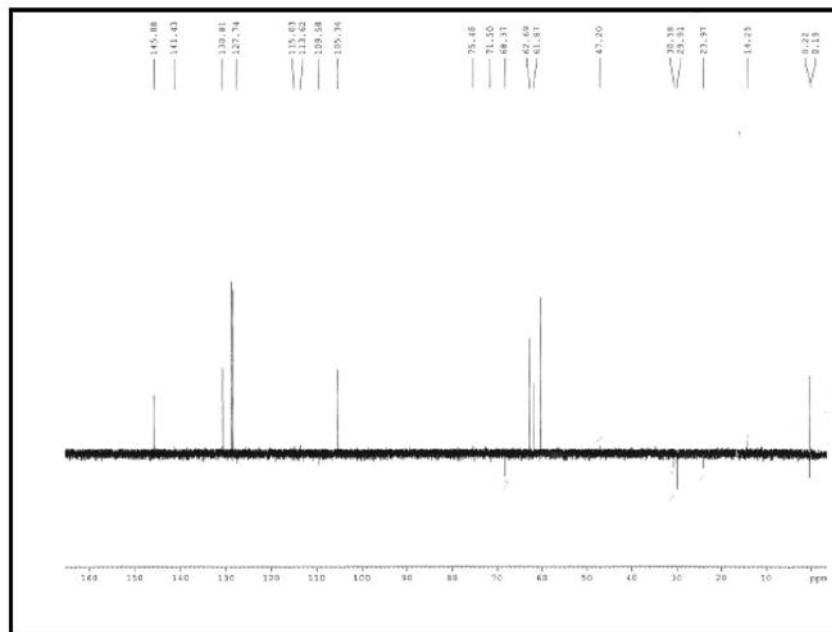


Figura 25S. Espectro de RMN ^{13}C do composto 3 - DEPT-135°

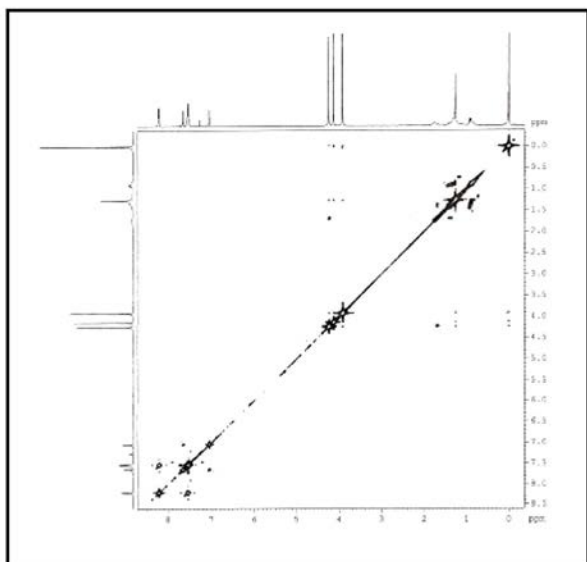


Figura 26S. Espectro de RMN do composto 3 – COSY

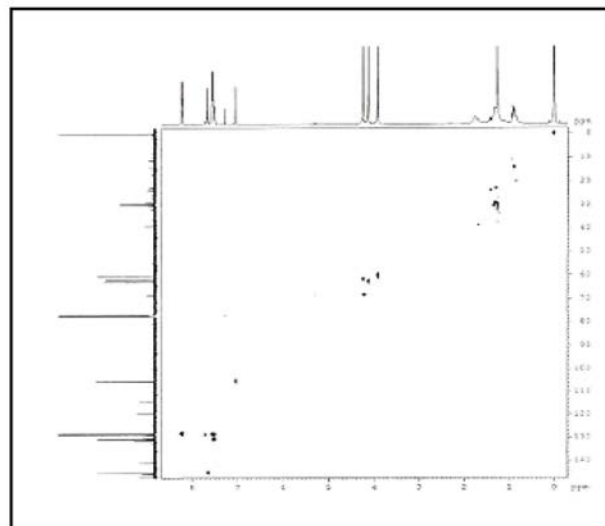


Figura 28S. Espectro de RMN do composto 3 – HSQC

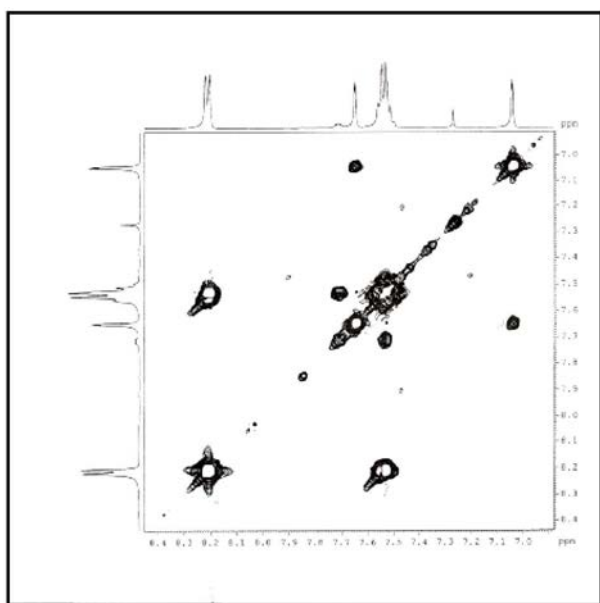


Figura 27S. Espectro de RMN do composto 3 – COSY (expansão)

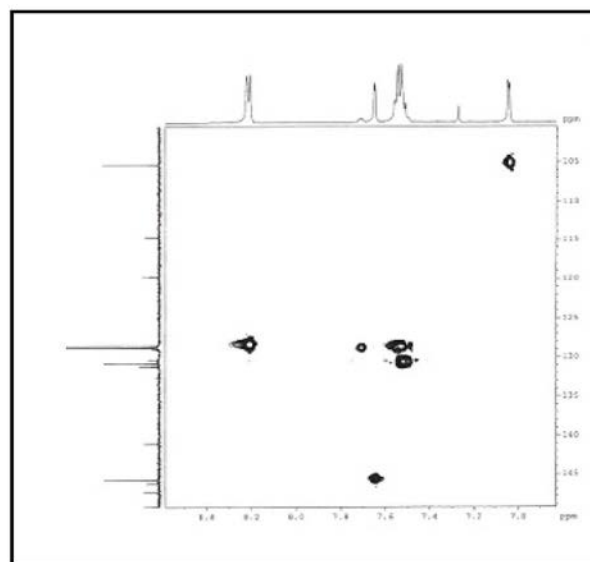


Figura 29S. Espectro de RMN do composto 3 – HSQC (expansão)

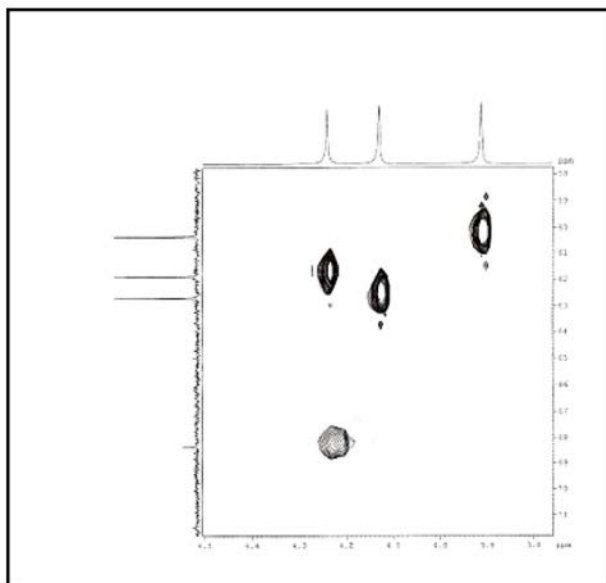


Figura 30S. Espectro de RMN do composto 3 – HSQC (expansão)

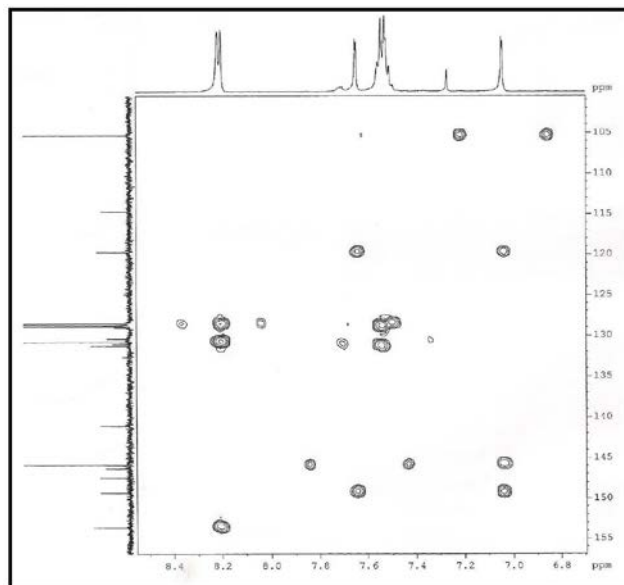


Figura 32S. Espectro de RMN do composto 3 – HMBC (expansão)

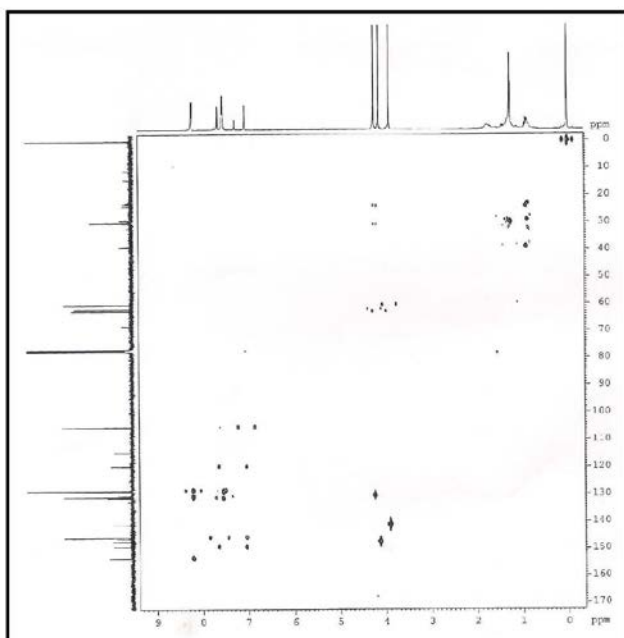


Figura 31S. Espectro de RMN do composto 3 – HMBC

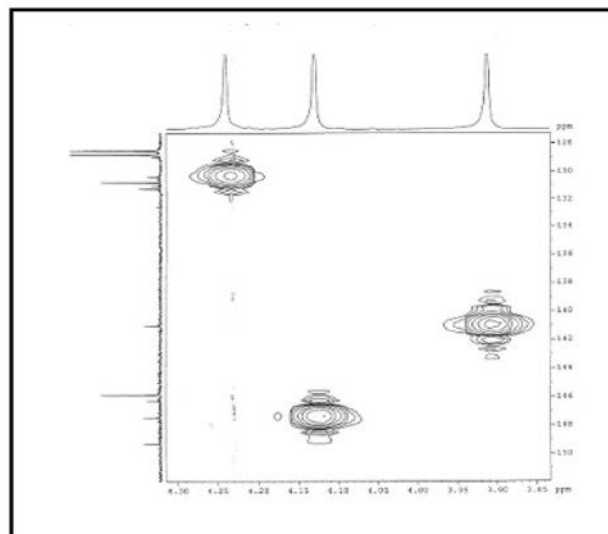


Figura 33S. Espectro de RMN do composto 3 – HMBC (expansão)

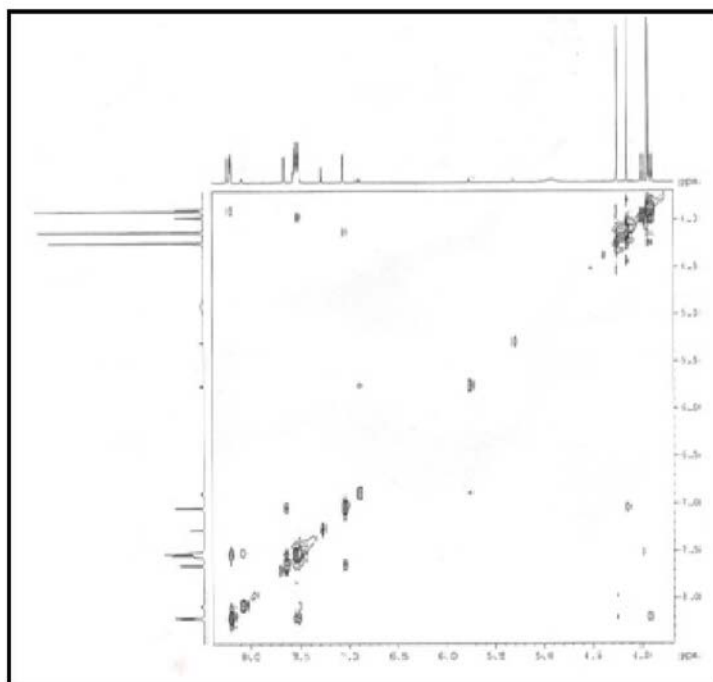


Figura 34S. Espectro de RMN do composto 3 – NOESY

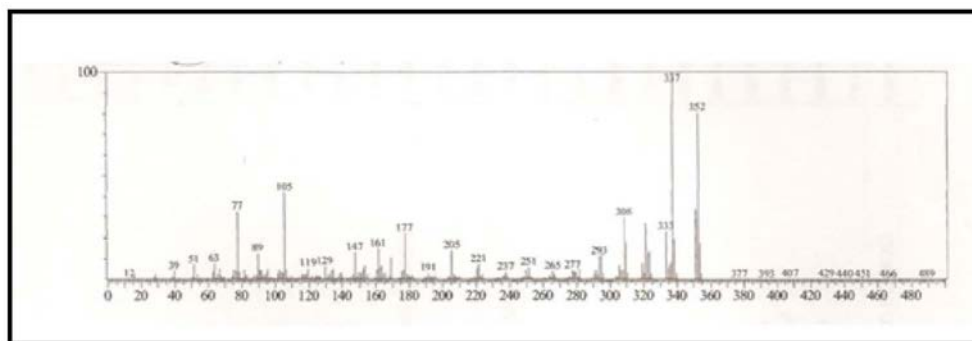


Figura 35S. Espectro de massas do composto 3 (EI)

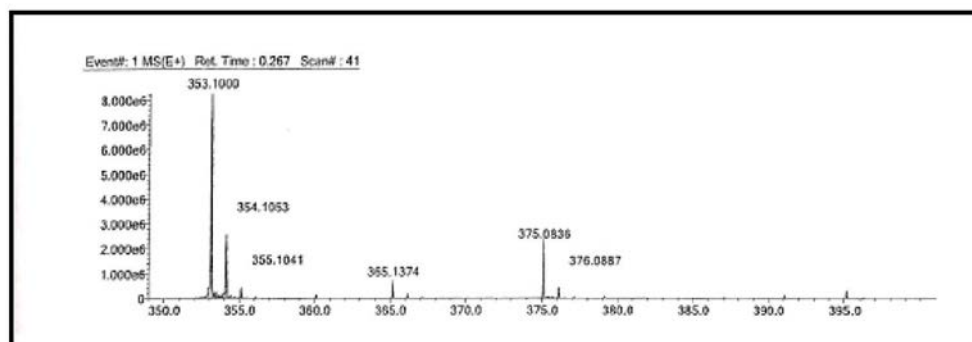


Figura 36S. Espectro de massas do composto 3 [M + H]

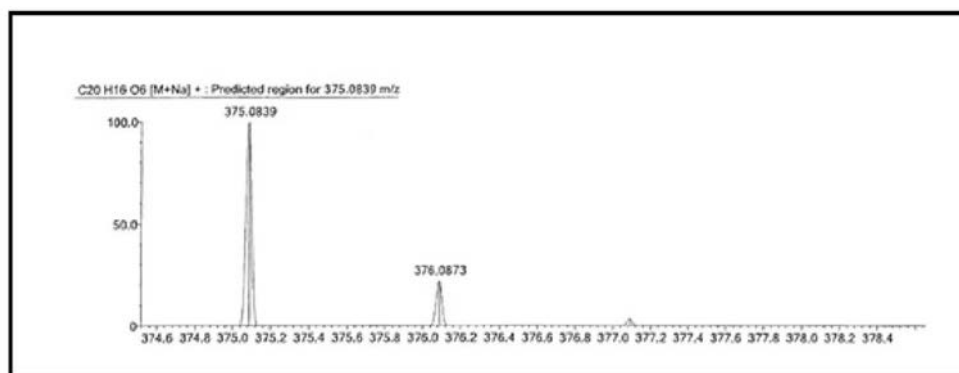


Figura 37S. Espectro de massas do composto 3 [M + Na]